

УДК 539.376

## КРУЧЕНИЕ СТЕРЖНЕЙ В КИНЕМАТИЧЕСКИХ РЕЖИМАХ ПОЛЗУЧЕСТИ

И. А. Банщикова

Институт гидродинамики им. М. А. Лаврентьева СО РАН, 630090 Новосибирск, Россия

E-mail: binna@ngs.ru

Рассмотрены задачи, описывающие процесс получения остаточного угла закручивания стержня в условиях ползучести с учетом упругого восстановления после снятия нагрузок. Предполагается, что для формируемого участка задается постоянный погонный угол закручивания, т. е. участок находится в условиях чистого кручения, без стеснения торцов стержня. Считается, что деформации и напряжения зависят только от времени и двух пространственных координат в плоскости поперечного сечения стержня. Рассмотрены прямые и обратные задачи о кручении стержня с прямоугольным и уголково-поперечными сечениями в различных кинематических режимах ползучести. Скорость угла закручивания в течение всего процесса деформирования задается постоянной. Предложена методика численного расчета на основе метода конечных элементов, позволяющая получать жесткостные характеристики сечения при кручении в случае ползучести. Показано, что минимальный уровень остаточных напряжений наблюдается в релаксационном режиме деформирования. Для стержня с поперечным сечением уголкового типа найдены режимы, в которых существенно уменьшаются напряжения в области их концентрации.

**Ключевые слова:** кручение, стержень, деформация поперечного сечения, кинематические режимы, ползучесть, обратная задача.

DOI: 10.15372/PMTF20220519

**Введение.** Профили с поперечными сечениями уголкового, таврового, прямоугольного и других типов широко применяются в качестве подкрепляющих элементов обшивки корпусов и изделий авиа-, судно- и общего машиностроения. Длина таких профилей может достигать нескольких метров, угол закручивания, как правило, не превышает 0,5 рад/м, кривизна изогнутой оси профиля составляет не более  $0,5 \text{ м}^{-1}$ . Характерные размеры поперечных сечений (высота стенок и полок профилей типа тавра, уголка) порядка нескольких сантиметров, их толщина обычно составляет несколько миллиметров. Изготовление деталей в условиях быстрого пластического деформирования часто приводит к разрушению конструкции еще на стадии производства. Например, при гибке таврового или уголкового профиля с использованием прокатных установок, состоящих из системы валиковых блоков и предназначенных для создания подобных профилей, при обычной температуре может происходить отрыв полки, что объясняется высокой концентрацией напряжений в областях соединения полок и резкими изменениями геометрической формы поперечного сечения. Одним из способов создания нужной геометрии указанных профилей является последовательное формоизменение их участков в термокамере при медленных режимах,

когда значительную долю необратимых деформаций составляют деформации ползучести. Можно считать, что в пределах формуемого участка профиля (стержня), находящегося в печи, стеснение на концах стержня отсутствует, погонный угол закручивания и кривизна изогнутой оси профиля являются постоянными величинами. Под углом закручивания понимается угол поворота поперечного сечения стержня на единицу длины. После завершения процесса формования и снятия нагрузок вследствие большого различия длины и размеров поперечного сечения участка возможно упругое восстановление. Аналогичные прямые и обратные задачи о формообразовании пластин и профилей рассмотрены в работах [1–5].

В данной работе исследуются прямые и обратные задачи о чистом кручении без стеснения торцов стержней с прямоугольным и уголкового сечениями в режимах ползучести, когда в течение всего процесса деформирования скорость изменения угла закручивания считается заданной. Определение напряженно-деформированного состояния в поперечном сечении уголкового типа осложняется наличием области концентрации напряжений. Поскольку стеснение на торцах отсутствует, задачи можно сформулировать в двумерной постановке. Для численного решения предлагается использовать методику расчета на основе метода конечных элементов. Подобные двумерные задачи о кручении стержней в условиях ползучести были исследованы в [1] с помощью метода конечных разностей. Однако при использовании этого метода описание геометрии поперечного сечения профиля сложной формы, а также аппроксимация граничных условий существенно затруднены.

**1. Постановка прямых и обратных задач о кручении.** Сформулируем задачи и запишем разрешающие уравнения.

1.1. *Прямая задача о кручении.* В начальный момент времени  $t = 0$  под действием крутящего момента стержень деформируется упруго до заданного погонного угла закручивания  $\theta_0$ . Во временном диапазоне  $0 \leq t < t_*$  скорость закручивания  $\dot{\theta} = \text{const}$  считается известной, при этом возможен также релаксационный режим деформирования, в котором угол остается фиксированным:  $\dot{\theta} = 0$ . В стержне происходит накопление необратимых деформаций ползучести. Необходимо найти остаточный угол закручивания  $\theta_{**}$  после упругого восстановления при  $t = t_*$  вследствие снятия нагрузок (время  $t_*$  задано).

1.2. *Обратная задача о кручении.* Требуется найти начальный угол закручивания  $\theta_0$ , на который необходимо упруго деформировать стержень в начальный момент времени  $t = 0$ , чтобы после деформирования его в течение времени  $0 \leq t < t_*$  с заданной скоростью закручивания  $\dot{\theta} = \text{const}$  и упругой разгрузки при  $t = t_*$  получить заданный остаточный угол закручивания  $\theta_{**}$ .

При  $0 \leq t \leq t_*$  температура считается постоянной, при  $t < 0$  стержень не деформирован. Решение обратной задачи можно получить методом последовательных приближений, решая на каждом шаге прямую задачу и используя итерационный процесс, подобный описанному в работах [1, 2].

Пусть ось  $z$  направлена вдоль стержня, оси  $x$  и  $y$  расположены в плоскости поперечного сечения. Поскольку стеснение на торцах стержня отсутствует, угол поворота на единицу длины  $\theta = \theta(t)$  не зависит от координаты  $z$  и сечение  $z$  поворачивается относительно сечения  $z = 0$  на угол закручивания  $\varphi = \theta z$ . Тогда для смещений имеем зависимости [6]

$$u = -\varphi y = -\theta z y, \quad v = \varphi x = \theta z x, \quad w = W(x, y, t), \quad (1)$$

где  $W = W(x, y, t)$  — перемещение точек поперечного сечения стержня в направлении  $z$ , происходящее при кручении (депланация сечения). Деформации  $\gamma_{zx} = \gamma_{zx}(x, y, t)$ ,  $\gamma_{zy} = \gamma_{zy}(x, y, t)$  определяются из соотношений Коши. Учитывая (1), при  $t = 0$  имеем

$$\gamma_{zx}(x, y, 0) = \gamma_{zx0} = W_{0,x} - \theta_0 y, \quad \gamma_{zy}(x, y, 0) = \gamma_{zy0} = W_{0,y} + \theta_0 x. \quad (2)$$

Здесь  $\theta_0 = \theta(0)$ ;  $W_0 = W(x, y, 0)$ . При  $t = 0$  напряжения  $\tau_{zx} = \tau_{zx}(x, y, t)$ ,  $\tau_{zy} = \tau_{zy}(x, y, t)$  связаны с деформациями (1) законом Гука

$$\tau_{zx}(x, y, 0) = \tau_{zx0} = G\gamma_{zx0}, \quad \tau_{zy}(x, y, 0) = \tau_{zy0} = G\gamma_{zy0}, \quad (3)$$

где  $G$  — модуль сдвига. Напряжения (3) удовлетворяют уравнению равновесия

$$\tau_{zx0,x} + \tau_{zy0,y} = 0 \quad (4)$$

с краевыми условиями на контуре поперечного сечения

$$\tau_{zx0}n_x + \tau_{zy0}n_y = 0 \quad (5)$$

( $n_x, n_y$  — компоненты нормали к контуру). Начальный крутящий момент равен

$$M_{z0} = \int_S (\tau_{zy0}x - \tau_{zx0}y) dS = \theta_0 D, \quad (6)$$

где  $D$  — жесткость сечения стержня при упругом кручении;  $S$  — площадь поперечного сечения стержня.

Считаем, что в любой момент времени  $0 \leq t < t_*$  полные деформации представляют собой сумму упругих деформаций и деформаций ползучести, поэтому с учетом (2) имеем

$$\frac{1}{G} \dot{\tau}_{zx} + \eta_{zx}^c = \dot{W}_{,x} - \dot{\theta}y, \quad \frac{1}{G} \dot{\tau}_{zy} + \eta_{zy}^c = \dot{W}_{,y} + \dot{\theta}x \quad (7)$$

( $\eta^c$  — скорости деформаций ползучести). Ползучесть материала описывается кинетической теорией с учетом накопления повреждений [7]:

$$\eta_{kl}^c = \frac{1}{(1-\omega)^m} \frac{3}{2} \frac{f_1(\sigma_i)}{\sigma_i} \sigma_{kl}^0, \quad \dot{\omega} = \frac{f_2(\sigma_i)}{(1-\omega)^m}. \quad (8)$$

Здесь  $\sigma_i = (3\sigma_{kl}^0\sigma_{kl}^0/2)^{1/2}$  — интенсивность напряжений;  $\sigma_{kl}^0$  — компоненты девиатора напряжений;  $0 \leq \omega \leq 1$  — параметр поврежденности. В данном случае  $\sigma_i = (3\tau_{zx}^2 + 3\tau_{zy}^2)^{1/2}$ . При  $0 \leq t < t_*$  из уравнений (4), (5) для скоростей напряжений следует

$$\dot{\tau}_{zx,x} + \dot{\tau}_{zy,y} = 0; \quad (9)$$

$$\dot{\tau}_{zx}n_x + \dot{\tau}_{zy}n_y = 0. \quad (10)$$

Крутящий момент в сечении стержня определяется по формуле

$$M_z = \int_s (\tau_{zy}x - \tau_{zx}y) ds. \quad (11)$$

Уравнения (7)–(11) представляют собой дифференциальную систему, решая которую при начальных условиях  $W_0, \tau_{zx0}, \tau_{zy0}$  можно определить напряженно-деформированное состояние при  $0 \leq t < t_*$ .

При  $t = t_*$  стержень разгружается упруго. Выражения для напряжений перед разгрузкой  $\tau_{zx*} = \tau_{zx}(x, y, t_*)$ ,  $\tau_{zy*} = \tau_{zy}(x, y, t_*)$  представим в виде

$$\tau_{zx*} = \tau_{zx}^e + \rho_{zx}, \quad \tau_{zy*} = \tau_{zy}^e + \rho_{zy}, \quad (12)$$

где  $\rho_{zx}, \rho_{zy}$  — остаточные напряжения;  $\tau_{zx}^e, \tau_{zy}^e$  — напряжения, соответствующие упругому восстановлению.

Уравнение упругой разгрузки имеет следующий вид:

$$\int_s (\tau_{zy*}x - \tau_{zx*}y) ds = \theta^e D$$

( $\theta^e$  — угол, при котором происходит упругое восстановление).

В силу постановки задачи  $\dot{\theta} = \text{const}$ . Для остаточного угла имеем

$$\theta_{**} = \theta_* - \theta^e = \theta_0 + \dot{\theta}t_* - \theta^e. \quad (13)$$

Решения обратной задачи можно получить, используя итерационный процесс

$$\theta_0^{k+1} = \theta_0^k + (\theta_{**} - \theta_{**}^k). \quad (14)$$

Здесь  $\theta_0^k, \theta_{**}^k$  — соответственно начальный и полученный в результате решения прямой задачи остаточный углы на  $k$ -й итерации. В качестве первого приближения можно выбрать равенство  $\theta_0^1 = \theta_{**}$ . Проблема сходимости подобных итерационных процессов при решении обратных задач исследуется в работе [5].

**2. Методы численного решения.** В случае наличия в сечении особых точек, в которых происходит концентрация напряжений, применение метода конечных разностей [1] затруднено. Используем в расчетах метод конечных элементов, основанный на методе вариации перемещений и предложенный для решения задач кручения в [6]. Варьируя смещения в (1), получаем

$$\delta u = 0, \quad \delta v = 0, \quad \delta w = \delta W(x, y, t).$$

Так как при вариации перемещений в начальный момент времени  $t = 0$  возможная работа внешних сил (крутящего момента) обращается в нуль, то работа внутренних сил также равна нулю:

$$\int_S (\tau_{zx0} \delta\gamma_{zx0} + \tau_{zy0} \delta\gamma_{zy0}) dS = 0. \quad (15)$$

Учитывая (2), (3) и то, что вариация деформаций равна  $\delta\gamma_{zx0} = (\delta W_0)_{,x}$ ,  $\delta\gamma_{zy0} = (\delta W_0)_{,y}$ , интеграл (15) преобразуем к виду

$$\int_S (W_{0,x} - \theta_0 y)(\delta W_0)_{,x} + (W_{0,y} + \theta_0 x)(\delta W_0)_{,y} dS = 0. \quad (16)$$

Область поперечного сечения разбиваем на треугольные конечные элементы. Внутри элемента  $p$  искомая функция деформации  $W_0(x, y)$  представляется в виде

$$W_0^p = (N)(W_0^p), \quad (17)$$

где  $(N) = (N_1, N_2, N_3)$  — вектор функций форм;  $(W_0^p) = (W_0^{p1}, W_0^{p2}, W_0^{p3})^T$  — вектор значений функции деформации в трех узлах элемента. С учетом (17) уравнение (16) преобразуется к системе линейных уравнений

$$[R_{ij}^p](W_0^{pi}) = (F_i^p), \quad i = 1, 2, 3,$$

$$[R_{ij}^p] = \int_s \left( \frac{\partial N_i}{\partial x} \frac{\partial N_j}{\partial x} + \frac{\partial N_i}{\partial y} \frac{\partial N_j}{\partial y} \right) ds, \quad (F_i^p) = \int_s \left( \theta_0 y \frac{\partial N_i}{\partial x} - \theta_0 x \frac{\partial N_i}{\partial y} \right) ds. \quad (18)$$

Здесь верхний индекс  $p$  соответствует  $p$ -му элементу;  $[R^p]$  — матрица жесткости  $p$ -го элемента. Функции формы приравниваются к  $L$ -координатам треугольника  $N_i = L_i$  ( $i = 1, 2, 3$ ), где

$$L_1 = \frac{1}{2s} (a_1 + b_1 x + c_1 y), \quad L_2 = \frac{1}{2s} (a_2 + b_2 x + c_2 y), \quad L_3 = \frac{1}{2s} (a_3 + b_3 x + c_3 y), \quad (19)$$

$a_1 = x_2 y_3 - x_3 y_2$ ;  $b_1 = y_2 - y_3$ ;  $c_1 = x_3 - x_2$  (остальные коэффициенты получаются путем круговой перестановки индексов);  $x_i, y_i$  — координаты узлов элемента в декартовой

системе координат;  $s$  — площадь рассматриваемого  $p$ -го элемента:

$$s = \frac{1}{2} \det \begin{vmatrix} 1 & x_1 & y_1 \\ 1 & x_2 & y_2 \\ 1 & x_3 & y_3 \end{vmatrix}.$$

Таким образом, депланация внутри элемента имеет линейную аппроксимацию  $W_0^p = (L_1, L_2, L_3)(W_0^p)$ . Заметим, что можно использовать также более сложную нелинейную аппроксимацию для  $W_0^p$  [8], но это приведет к усложнению численного интегрирования. В случае линейных функций удовлетворительная точность расчетов достигается за счет разбиения сечения на более мелкие конечные элементы.

После подстановки (19) в систему (18) последнюю можно представить в виде

$$[R^p](W_0^p) = (F^p), \quad (20)$$

где  $[R^p] = s[B^p]^T[B^p]$  — матрица жесткости элемента;  $(F^p) = \theta_0 s[B^p]^T(y_s, -x_s)^T$ ,

$$[B^p] = \frac{1}{2s} \begin{bmatrix} b_1 & b_2 & b_3 \\ c_1 & c_2 & c_3 \end{bmatrix}, \quad x_s = \frac{x_1 + x_2 + x_3}{3}, \quad y_s = \frac{y_1 + y_2 + y_3}{3}.$$

Интегрирование (18) выполняется приближенно по формулам [8, 9]

$$\int_s \phi(x, y) ds = 2s \int_0^1 \int_0^{1-L_1} \phi(L_1, L_2, L_3) dL_2 dL_1 = s \sum_{r=1}^J d_r \phi(L_{1r}, L_{2r}, L_{3r})$$

( $J$  — количество точек интегрирования;  $d_r, \phi(L_{1r}, L_{2r}, L_{3r})$  — весовые коэффициенты и значение функции  $\phi$  в  $r$ -й точке интегрирования). В данном случае  $J = 1$ , точка интегрирования имеет координаты  $L_1 = L_2 = L_3 = 1/3$ , весовой коэффициент равен  $d = 1$ . После получения системы (20) для каждого элемента вычисляются матрица жесткости  $[R]$  и вектор  $(F)$  для всей системы элементов сечения. В результате получаем систему линейных уравнений

$$[R](W_0) = (F), \quad (21)$$

где  $(W_0) = (W_0^1, W_0^2, \dots, W_0^{m_1})$  — искомый вектор;  $m_1$  — количество узлов системы. Деформации (2) определяются через полученные значения  $(W_0)$  следующим образом:

$$(\gamma_{zx0}, \gamma_{zy0})_p^T = [B^p](W_0^p) + \theta_0(-y_s, x_s)_p^T.$$

Затем вычисляются напряжения (3) в центре тяжести каждого элемента, после чего находят общий момент  $M_{z0}$  (путем замены интеграла (6) суммой всех моментов, вычисляемых для каждого элемента), а также жесткость сечения стержня при кручении  $D = M_{z0}/\theta_0$ . Таким образом, при решении прямой задачи о кручении стержня все величины в начальный момент времени  $t = 0$  становятся известными.

При  $0 \leq t < t_*$  решается система дифференциальных уравнений (7)–(11) с начальными условиями, полученными при  $t = 0$ . При  $0 \leq t < t_*$  можно записать уравнение, подобное (16):

$$\int_S (\dot{W}_{,x} - \dot{\theta}y - \eta_{zx}^c)(\delta\dot{W})_{,x} + (\dot{W}_{,y} + \dot{\theta}x - \eta_{zy}^c)(\delta\dot{W})_{,y} dS = 0. \quad (22)$$

Интегрируя (22) по частям, получаем

$$\begin{aligned} \int_C (\dot{W}_{,x} - \dot{\theta}y - \eta_{zx}^c) \delta\dot{W} n_x dC - \int_S \frac{\partial}{\partial x} (\dot{W}_{,x} - \eta_{zx}^c) \delta\dot{W} dS + \\ + \int_C (\dot{W}_{,y} + \dot{\theta}x - \eta_{zy}^c) \delta\dot{W} n_y dC - \int_S \frac{\partial}{\partial y} (\dot{W}_{,y} - \eta_{zy}^c) \delta\dot{W} dS = 0. \quad (23) \end{aligned}$$

Уравнение (23) соответствует уравнению равновесия (9) с краевыми условиями (10) [8]. Преобразуя (22), получаем систему, подобную (20):

$$[R^p](\dot{W}^p) = (\Phi^p), \quad (24)$$

где  $(\Phi^p) = s[B^p]^T(\Psi^p)$  — вектор правых частей;  $(\Psi^p) = (\dot{\theta}y_s + \eta_{zx_s}^c, -\dot{\theta}x_s + \eta_{zy_s}^c)^T$ .

Матрица  $[R^p]$  в (24) совпадает с матрицей жесткости в (20). Нижний индекс  $s$  означает, что значения функций определяются в точке интегрирования  $L_1 = L_2 = L_3 = 1/3$ . Зависящий от времени вектор в правой части (24) для совокупности узлов получается путем суммирования правых частей в узлах каждого элемента. При  $0 \leq t < t_*$  общая матрица жесткости совпадает с матрицей при  $t = 0$  и является постоянной. С учетом (7) можно получить выражения для скоростей напряжений в каждом элементе в матричном виде. В результате преобразований получаем систему дифференциальных уравнений

$$[R](\dot{W}) = (\Phi), \quad (\dot{W}) = (\dot{W}^1, \dot{W}^2, \dots, \dot{W}^{m_1})^T, \quad (25)$$

$$(\dot{\tau}_{zx}, \dot{\tau}_{zy})_p^T = G([B^p](\dot{W}^p) - (\Psi^p)), \quad p = 1, 2, \dots, m_2,$$

где  $m_2$  — количество элементов в системе ( $m_1 + 2m_2$  — общее число уравнений системы). При решении (25) использовался метод Рунге — Кутты — Мерсона [10]. Автоматический контроль шага по времени обеспечивает достаточно быструю сходимость. При тестировании данного метода сначала деформации ползучести полагались равными нулю, т. е. рассматривалось чисто упругое деформирование в интервале времени  $0 \leq t < t_*$ . В результате решение системы (25) при  $\theta_0 = 0$ ,  $\theta = \psi/t_* = \text{const}$  совпало с решением системы (21) при  $\theta_0 = \psi$ .

Для обращения матрицы  $[R]$  при решении системы линейных уравнений был использован метод отражения [11], реализованный на языке Фортран. В случае учета повреждаемости к системе (25) необходимо добавить  $m_2$  дифференциальных уравнений для определения параметра поврежденности  $\omega$ . Следует отметить, что предложенный метод решения может быть обобщен на случай ортотропии и разносопротивляемости материала при растяжении и сжатии в случае ползучести [12–15].

**3. Примеры решения задач.** Проведен расчет для стержней с прямоугольным сечением размером  $10 \times 20$  мм и с уголковым сечением с углом между полками, равным  $90^\circ$  (рис. 1). Вычисления выполнены для сплава ВТ9 без учета накопления повреждений с использованием зависимостей и параметров в (8), соответствующих температуре  $T = 550$  °С:  $f_1(\sigma_i) = B_1\sigma_i^n$ ,  $f_2(\sigma_i) = B_2\sigma_i^g$ , где  $n = 4$ ;  $g = 5$ ;  $m = 10$ ;  $B_1 = 1,1303 \cdot 10^{-17}$  МПа $^{-n} \cdot \text{с}^{-1}$ ;  $B_2 = 5,0105 \cdot 10^{-20}$  МПа $^{-g} \cdot \text{с}^{-1}$  [16]. Модуль Юнга  $E = 66\,700$  МПа, коэффициент Пуассона  $\nu = 0,3$ , предел текучести  $\sigma_T = 608$  МПа.

**3.1. Прямые задачи для стержня с прямоугольным сечением.** Сечение разбивалось  $m_1 = 861$  узлом (21 по оси  $x$  и 41 по оси  $y$  с шагом 0,5 мм) на  $m_2 = 1600$  элементов. В табл. 1 приведены результаты решения задачи (начальный момент  $M_{z0}$ , вычисленный согласно (6), момент перед разгрузкой  $M_{z*}$ , остаточный угол  $\theta_{**}$ ) без учета параметра поврежденности ( $m = 0$  в (8)) для режима релаксации ( $\dot{\theta} = 0$ ) и режима с постоянной угловой скоростью закручивания ( $\dot{\theta} = 1,615 \cdot 10^{-4}$  рад/(м·с)). Заданное время  $t_* = 1,08 \times 10^4$  с, начальный погонный угол при  $t = 0$  составлял  $\theta_0 = 1,396$  рад/м. В табл. 1 приведено также решение тех же задач методом конечных разностей [1] с шагом по осям  $x$  и  $y$ , равным 0,5 мм. При  $t = 0$  различие результатов вычисления моментов составляет менее 0,3 %, при  $t = t_*$  — менее 0,1 %, остаточные углы закручивания различаются менее чем на 1,1 %.

**3.2. Обратные задачи для стержня с прямоугольным сечением.** На рис. 2,а приведена зависимость начального угла от времени при значениях остаточного угла  $\theta_{**} = 0,175$ ; 0,349; 0,524 рад в случае релаксационного режима деформирования ( $\dot{\theta} = 0$ ) при

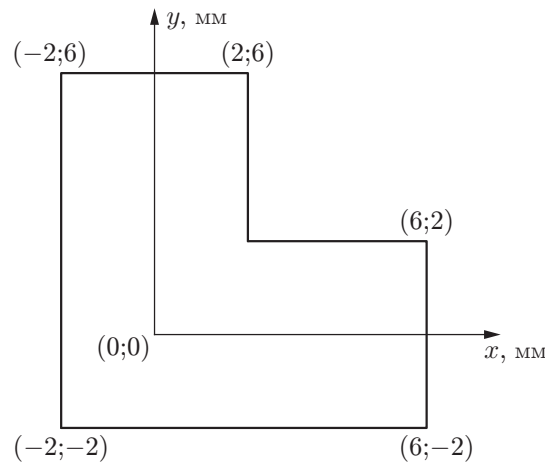


Рис. 1. Поперечное уголковое сечение

Таблица 1

Результаты решения прямых задач для стержня с прямоугольным сечением

Метод	$M_{z0}$ , Н·м	$\dot{\theta} \cdot 10^3$ , рад/(м·с)	$M_{z*}$ , Н·м	$\theta_{**}$ , рад/м
Метод конечных элементов	164,1	0	121,3	0,365
		1,615	212,6	1,332
Метод конечных разностей	163,7	0	121,4	0,361
		1,615	212,5	1,330

$t_* = 7,2 \cdot 10^3 \div 3,6 \cdot 10^6$  с. На рис. 2,б показана та же зависимость при  $t_* \approx 7,2 \cdot 10^3 \div 7,2 \cdot 10^4$  с. Для достижения точности итерационного процесса (13), (14)  $(\theta_{**} - \theta_{**}^k)/\theta_{**} \leq 10^{-4}$  необходимо 8–15 итераций  $k$  в зависимости от исходных данных.

3.3. *Прямые задачи для стержня с уголковым сечением.* Особенностью уголкового сечения является наличие точки, окрестность которой представляет собой область концентрации напряжений, в которой они стремятся к бесконечности. В случае наличия таких областей применение для расчетов метода конечных разностей затруднительно. Поэтому для решения использовался метод конечных элементов.

Проведено исследование влияния вида конечно-элементной сетки на результаты расчета. Использовалось равномерное разбиение сечения (рис. 3,а) с равными шагами по осям  $x$  и  $y$  и неравномерное, более плотное в зонах концентрации напряжений (рис. 3,б,в). Результаты решения прямой задачи кручения при начальном угле закручивания  $\theta_0 = 0,95$  рад/м и  $t_* = 7,2 \cdot 10^4$  с для разбиений различного типа приведены в табл. 2. В случае мелкого разбиения с шагом по осям  $x$  и  $y$   $h = 0,2$  мм, соответствующего рис. 3,а, общее число узлов и элементов составило соответственно  $m_1 = 1281$ ,  $m_2 = 2400$ ; в случае неравномерного разбиения (см. рис. 3,б)  $m_1 = 1295$ ,  $m_2 = 2424$ . Полученные с учетом (12) максимальные значения интенсивности напряжений перед разгрузкой составили  $\sigma_{i*} = 197,4$  МПа и  $\sigma_{i*} = 234,1$  МПа соответственно.

Из табл. 2 следует, что несмотря на существенное различие интенсивности напряжений в областях концентрации при равномерном и неравномерном разбиениях, полученные значения моментов в начальный момент времени  $M_{z0}$  и перед упругой разгрузкой  $M_{z*}$  различаются незначительно, причем при уменьшении шага сетки  $h$  наблюдается сходимость этих интегральных величин. Различие значений остаточных углов закручивания  $\theta_{**}$  не превышает 0,5 %. Таким образом, для вычислений с удовлетворительной точностью можно использовать равномерное разбиение. Для уменьшения напряжений в областях их

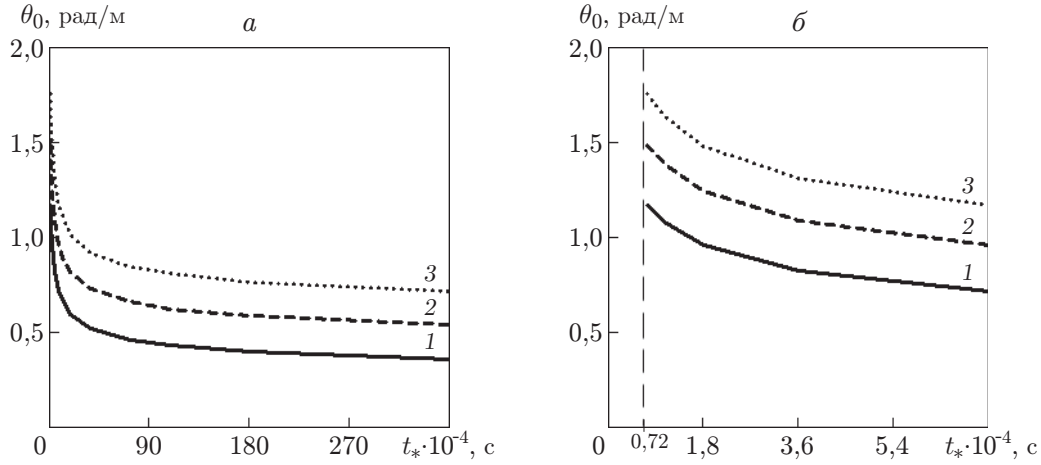


Рис. 2. Зависимость начального угла от времени  $\theta_0(t_*)$  для режима релаксации в диапазонах  $t_* = 7,2 \cdot 10^3 \div 3,6 \cdot 10^6$  с (а) и  $t_* = 7,2 \cdot 10^3 \div 7,2 \cdot 10^4$  с (б):  
 1 —  $\theta_{**} = 0,175$  рад, 2 —  $\theta_{**} = 0,349$  рад, 3 —  $\theta_{**} = 0,524$  рад

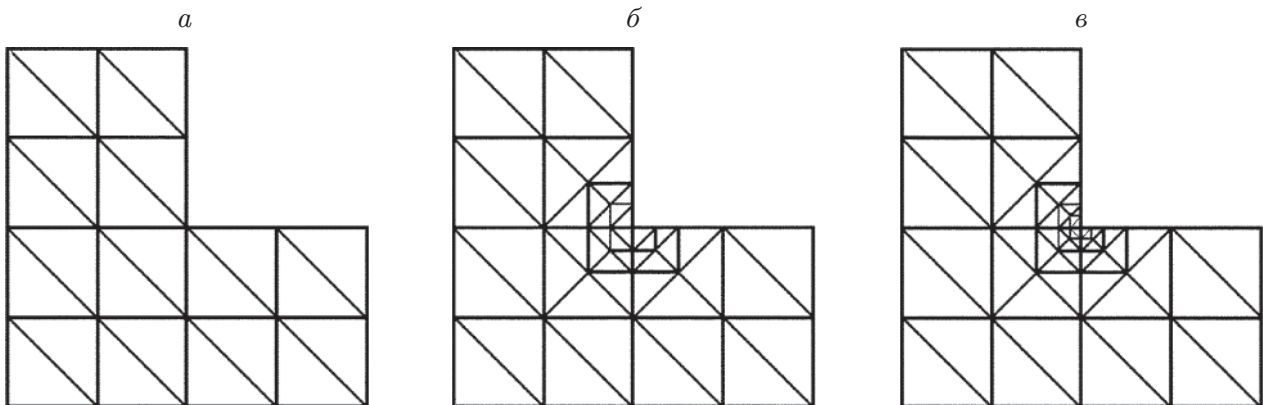


Рис. 3. Разбиения уголкового поперечного сечения:  
 а — равномерное, б, в — неравномерное с дополнительным числом узлов в зоне концентрации напряжений (б — 14, в — 21)

Таблица 2

Результаты решения прямой задачи для стержня с поперечным сечением уголкового типа

$h \cdot 10^3$ , м	Тип разбиения (см. рис. 3)	$M_{z0}$ , Н·м	$M_{z*}$ , Н·м	$\theta_{**}$ , рад/м	$\sigma_{i0 \max}$ , МПа
0,2	а	5,420	4,826	0,1030	342,7
0,2	б	5,410	4,831	0,1033	594,9
0,5	а	5,504	4,951	0,1028	253,7
1,0	а	5,703	5,098	0,1018	199,3
1,0	б	5,578	4,969	0,1048	352,4
1,0	в	5,567	4,963	0,1042	442,1



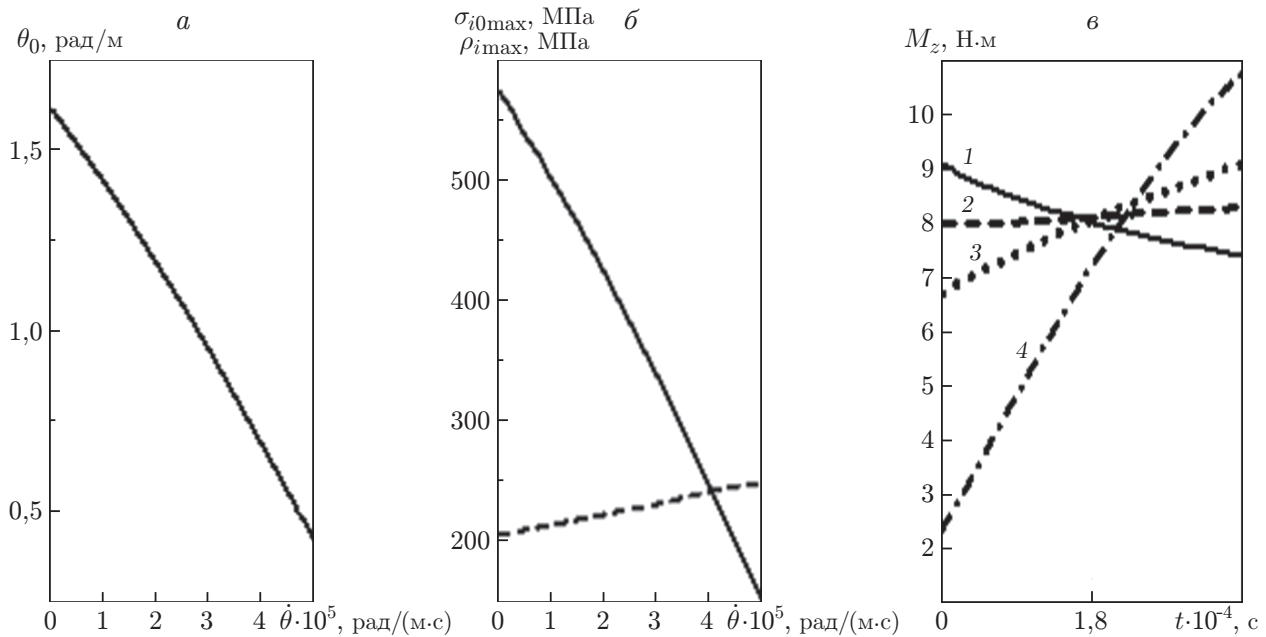


Рис. 4. Решение обратной задачи для стержня с уголковым сечением ( $t_* = 3,6 \cdot 10^4$  с,  $\theta_{**} = 0,3$  рад/м):

$a$  — зависимость  $\theta_0$  от  $\dot{\theta}$ ,  $б$  — зависимости максимальной интенсивности напряжений в сечении  $\sigma_{i0\max}(\dot{\theta})$  при  $t = 0$  (сплошная кривая) и  $\rho_{i\max}(\dot{\theta})$  при  $t = t_*$  после разгрузки (штриховая кривая),  $в$  — зависимость крутящего момента от времени при различных значениях  $\dot{\theta}$  (1 —  $\dot{\theta} = 0$ , 2 —  $\dot{\theta} = 10^{-5}$  рад/(м·с), 3 —  $\dot{\theta} = 2 \cdot 10^{-5}$  рад/(м·с), 4 —  $\dot{\theta} = 5 \cdot 10^{-5}$  рад/(м·с))

концентрации, как правило, применяется скругление в зонах соединения полок, а также учитываются пластические деформации [17].

3.4. *Обратная задача о чистом кручении стержня с уголковым сечением.* На рис. 4 представлены результаты решения методом конечных элементов задачи определения угла  $\theta_0$ , необходимого для получения остаточного угла  $\theta_{**} = 0,3$  рад/м, при различных режимах ползучести  $\dot{\theta} = \text{const}$  в интервале времени  $0 \leq t < t_*$ ,  $t_* = 3,6 \cdot 10^4$  с. В расчетах использовалось равномерное разбиение с шагом  $h = 0,2$  мм. На рис. 4,а приведена зависимость искомого угла  $\theta_0$  от скорости изменения угла закручивания  $\dot{\theta}$ , на рис. 4,б — зависимости максимальной интенсивности напряжений в сечении от угловой скорости закручивания  $\dot{\theta}$ . Минимальное значение остаточных напряжений наблюдается при релаксационном режиме деформирования ( $\dot{\theta} = 0$ ), что подтверждает результаты, полученные в работе [2]. На рис. 4,в начальный угол закручивания определяется по кривой, приведенной на рис. 4,а. Режим 2 ( $\dot{\theta} = 10^{-5}$  рад/(м·с)) близок к режиму кручения постоянным моментом.

На рис. 5 показана поверхность интенсивности напряжений в уголкового сечении стержня. Для сравнения на рис. 6 представлена та же поверхность для различных режимов  $\dot{\theta} = \text{const}$  в профильной проекции.

Анализ поверхностей, показанных на рис. 6, позволяет сделать следующие выводы. Несмотря на то что при релаксационном режиме (см. рис. 6,а–в) остаточные напряжения наименьшие, начальные напряжения ( $t = 0$ ) являются наибольшими. Это может приводить к значительным повреждениям и даже разрушению конструкции при кручении. Режимы  $\dot{\theta} = 2 \cdot 10^{-5}$ ;  $5 \cdot 10^{-5}$  рад/(м·с) (см. рис. 6,ж–м) способствуют значительному уменьшению интенсивности напряжений в области концентрации напряжений. Отметим также, что сплав ВТ9 описывается энергетическим вариантом теории ползучести, когда

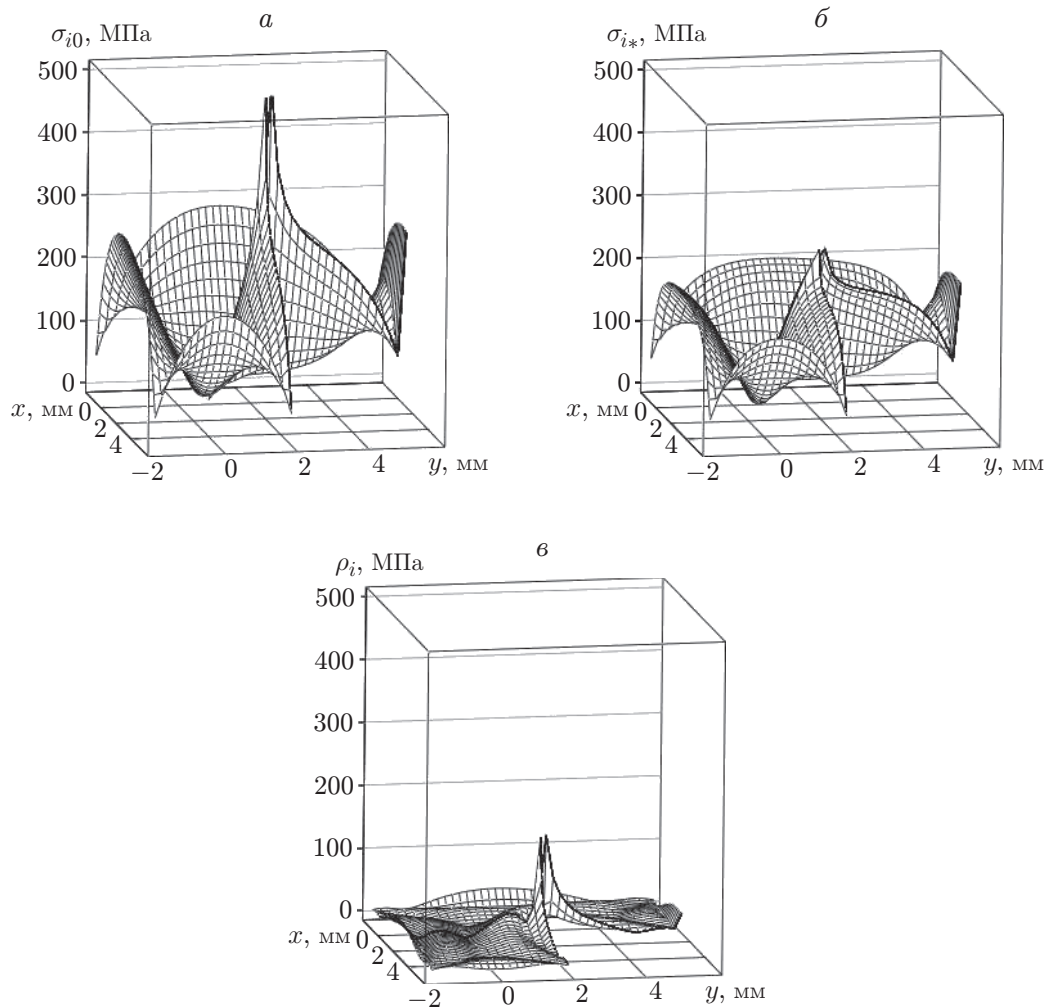


Рис. 5. Поверхность интенсивности напряжений в уголковом сечении стержня для релаксационного режима деформирования  $\dot{\theta} = 0$ :  
*a* —  $t = 0$ , *б*, *в* —  $t = t_*$  (*б* — перед разгрузкой, *в* — после разгрузки)

работа рассеяния является постоянной величиной [7]. Параметры этого сплава удовлетворяют условию  $g > n$ , поэтому наименьший уровень накопления повреждений наблюдается при линейном изменении угла закручивания в процессе деформирования [5]. К этому режиму деформирования наиболее близок режим  $\dot{\theta} = 5 \cdot 10^{-5}$  рад/(м·с) (см. рис. 6, *к-м*).

**Заключение.** В работе рассмотрены прямые и обратные задачи о кручении стержней с прямоугольным и уголковым поперечными сечениями в режимах ползучести, когда в процессе деформирования угловая скорость закручивания считается заданной. Для формируемого участка задается постоянный погонный угол закручивания, стеснение на торцах отсутствует. Это условие позволяет свести задачу к двумерной в плоскости поперечного сечения стержня. После завершения процесса формования в течение заданного времени происходит упругое восстановление в результате снятия нагрузки. Развита методика численного расчета с использованием метода конечных элементов. Предложенный метод позволяет получать жесткостные характеристики сечения при кручении в случае ползучести. Проведено исследование влияния плотности равномерного и неравномерного конечно-элементного разбиения в области концентрации напряжений на результаты расчета. Численно показано, что наименьшие остаточные напряжения наблюдаются в режиме

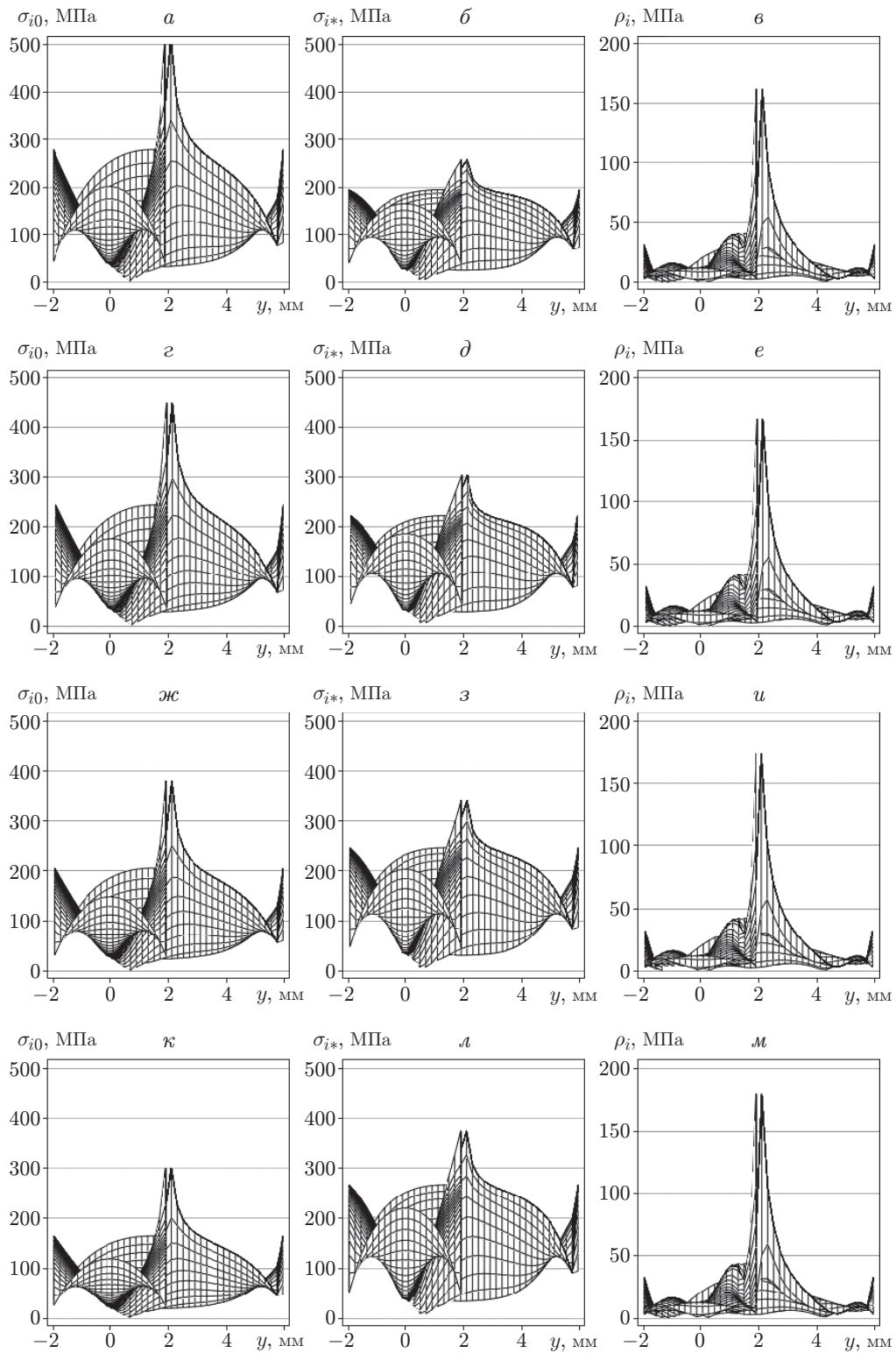


Рис. 6. Профильная проекция поверхности интенсивности напряжений в угловом сечении стержня:

$a$ – $в$  —  $\dot{\theta} = 0$ ,  $г$ – $е$  —  $\dot{\theta} = 10^{-5}$  рад/(м·с),  $ж$ – $и$  —  $\dot{\theta} = 2 \cdot 10^{-5}$  рад/(м·с),  $к$ – $л$  —  $\dot{\theta} = 5 \cdot 10^{-5}$  рад/(м·с);  $a$ ,  $г$ ,  $ж$ ,  $к$  —  $t = 0$ ,  $б$ ,  $д$ ,  $з$ ,  $л$  —  $t = t_*$  (перед разгрузкой),  $в$ ,  $е$ ,  $и$ ,  $м$  —  $t = t_*$  (после разгрузки)

релаксации. Исследовано влияние режима деформирования на концентрацию напряжений в стержне с уголковым сечением.

#### ЛИТЕРАТУРА

1. Банщикова И. А., Горев Б. В., Сухоруков И. В. Двумерные задачи формообразования стержней в условиях ползучести // ПМТФ. 2002. Т. 43, № 3. С. 129–139.
2. Банщикова И. А., Цвелодуб И. Ю. Об одном классе обратных задач формоизменения вязкоупругих пластин // ПМТФ. 1996. Т. 37, № 6. С. 122–131.
3. Бормотин К. С., Тарануха Н. А. Математическое моделирование обратных задач формообразования с учетом неполной обратимости деформаций ползучести // ПМТФ. 2018. Т. 59, № 1. С. 161–171.
4. Бормотин К. С. Обратные задачи оптимального управления в теории ползучести // Сиб. журн. индустр. математики. 2012. Т. 15, № 2. С. 33–42.
5. Цвелодуб И. Ю. Постулат устойчивости и его приложения в теории ползучести металлических материалов. Новосибирск: Ин-т гидродинамики СО АН СССР, 1991.
6. Биргер И. А. Стержни, пластины, оболочки. М.: Физматлит, 1992.
7. Горев Б. В., Любашевская И. В., Панамарев В. А., Иявойнен С. В. Описание процесса ползучести и разрушения современных конструкционных материалов с использованием кинетических уравнений в энергетической форме // ПМТФ. 2014. Т. 55, № 6. С. 132–144.
8. Зенкевич О. Методы конечных элементов в технике. М.: Мир, 1975.
9. Мяченков В. И. Расчеты машиностроительных конструкций методом конечных элементов: Справ. / В. И. Мяченков, В. П. Мальцев, В. П. Майборода и др. М.: Машиностроение, 1989.
10. Мудров А. Е. Численные методы для ПЭВМ на языках Бейсик, Фортран и Паскаль. Томск: МП РАСКО, 1991.
11. Коновалов А. Н. Введение в вычислительные методы линейной алгебры. Новосибирск: Наука. Сиб. издат. фирма, 1993.
12. Банщикова И. А., Цвелодуб И. Ю., Петров Д. М. Деформирование элементов конструкций из сплавов с пониженной сопротивляемостью деформациям ползучести в сдвиговом направлении // Учен. зап. Казан. ун-та. Сер. Физ.-мат. науки. 2015. Т. 157, № 3. С. 34–41.
13. Банщикова И. А., Ларичкин А. Ю. Кручение круглых стержней с учетом разносопротивляемости материала растяжению и сжатию в условиях ползучести // ПМТФ. 2018. Т. 59, № 6. С. 123–134.
14. Банщикова И. А. Построение определяющих уравнений для ортотропных при ползучести материалов с различными свойствами при растяжении и сжатии // ПМТФ. 2020. Т. 61, № 1. С. 102–117.
15. Banshchikova I. A., Petrov D. M., Tselodub I. Yu. Torsion of circular rods at anisotropic creep // J. Phys.: Conf. Ser. 2016. V. 722, N 1. 012004.
16. Никитенко А. Ф., Сухоруков И. В. Приближенный метод решения релаксационных задач с учетом повреждаемости материала при ползучести // ПМТФ. 1994. Т. 35, № 5. С. 136–142.
17. Мавлютин Р. Р. Концентрация напряжений в элементах авиационных конструкций. М.: Наука, 1981.

*Поступила в редакцию 1/II 2022 г.,  
после доработки — 1/II 2022 г.  
Принята к публикации 28/III 2022 г.*